

# 贵州烟田马铃薯 Y 病毒优势株系全序列克隆及系统进化分析

夏范讲<sup>1</sup> 郭玉双<sup>2</sup> 贾蒙骜<sup>2\*</sup>

(1. 中国烟草总公司 贵州省公司, 贵阳 550004;

2. 贵州省烟草科学研究院 烟草行业重点实验室, 贵阳 550081)

**摘要** 为了解马铃薯 Y 病毒在贵州烟田的发生和流行规律, 对 2013—2015 年采集到的贵州省多个烟区呈现典型茎脉坏死症状的疑似受马铃薯 Y 病毒(*Potato virus Y*, PVY)侵染的烟草样品进行单斑分离和病毒鉴定, 并以现有 PVY 序列信息为参考, 设计了 4 对 PVY 特异引物, 经过 RT-PCR 扩增、T 载体连接、序列测定以及序列拼接, 并利用 MEGA 软件进行系统进化分析。结果发现 PVY 福泉分离物(PVY Fuquan isolate, PVY-FQ)和 PVY 大方分离物(PVY Dafang isolate, PVY-DF)为优势株系并获得了 PVY-FQ 和 PVY-DF 的全基因组序列。PVY FQ 整条基因组由 9 699 个碱基组成, 编码多聚蛋白的开放阅读框位于第 188~9 373 nt; PVY DF 整条基因组由 9 706 个碱基组成, 编码多聚蛋白的开放阅读框位于第 190~9 375 nt。2 条序列的基本特征与已报道 PVY 基因组一致。对 PVY-FQ 和 PVY-DF 全序列与已报道 PVY 序列进行系统进化分析发现, PVY-FQ 与 PVY<sup>NTN</sup> 株系具有较高的亲缘关系, 而 PVY-DF 与 PVY<sup>N</sup> 具有较高亲缘关系。

**关键词** 马铃薯 Y 病毒; 基因组序列; 系统进化分析

中图分类号 S43 文章编号 1007-4333(2017)07-0034-06

文献标志码 A

## Full sequence cloning and phylogenetic analysis of *Potato virus Y* predominant strains collected from tobacco field in Guizhou Province

XIA Fanjiang<sup>1</sup>, GUO Yushuang<sup>2</sup>, JIA Mengao<sup>2\*</sup>

(1. Guizhou Tobacco Monopoly Administration, Guiyang 550004, China;

2. Key Laboratory of Molecular Genetics, Guizhou Academy of Tobacco Science, Guiyang 550081, China)

**Abstract** Studies on virus genome variation are necessary for virus disease prediction and control. During 2013–2015, tobacco samples which showed typical vein necrosis symptom were collected from Guizhou Province. Four pairs of specific primers were designed from the conserved regions of published genome sequences of *Potato virus Y* (PVY). After total RNA extraction, RT-PCR, molecular cloning and sequencing, the data of PVY genome sequence was then used for phylogenetic analysis by MEGA software. The result suggested that two PVY strains, PVY-FQ and PVY-DF, which were collected in tobacco plants from Fuquan area and Dafang area respectively, were confirmed as dominant isolates. Genome sequence analysis showed that PVY-FQ and PVY-DF contained 9 699 and 9 706 nt, of which their unique ORF located in 188–9 373 and 190–9 375 nt respectively. PVY-FQ and PVY-DF were confirmed sharing common genome structure with other isolates published previously. Phylogenetic analysis suggested that PVY-FQ had high homology with PVY<sup>NTN</sup> strain, while PVY-DF had high homology with PVY<sup>N</sup> strain.

**Keywords** *Potato virus Y*; genome sequence; phylogenetic analysis

马铃薯 Y 病毒(*Potato virus Y*, PVY)是马铃薯 Y 病毒科(Potyviridae)马铃薯 Y 病毒属(*Potyvirus*)的

典型代表, 病毒粒子为线状, 略弯曲, 无包膜<sup>[1-2]</sup>。PVY 基因组为正单链 RNA, 全长约 9.7 kb, 可以通

收稿日期: 2016-04-28

基金项目: 贵州省科学技术基金项目(黔科合 J 字[2013]2194 号); 中国烟草总公司贵州省公司科技计划项目(201504)

第一作者: 夏范讲, 助理研究员, 主要从事烟草植保研究, E-mail:fanjiangnuli@163.com

通讯作者: 贾蒙骜, 副研究员, 主要从事植物病毒学研究, E-mail:jiamengao@cau.edu.cn

过机械摩擦传播,田间大发生主要是通过蚜虫作为传毒介体进行传播<sup>[3]</sup>。在以往的生产中,人们常通过鉴别寄主接种后的症状差异将 PVY 区分为 3 个株系,分别为引起烟草系统性花叶的 PVY<sup>o</sup> 株系(普通株系, ordinary strain)、引起烟草叶脉坏死的 PVY<sup>N</sup>(坏死型株系)、引起带有 Nc 抗性基因马铃薯顶端坏死的 PVY<sup>C</sup> 株系(点刻条斑株系)<sup>[3]</sup>。然而,随着免疫学检测技术和分子生物学检测技术的发展,人们发现,单纯的症状识别根本无法区分发生重组的病毒株系,并且重组株系在 PVY 的发生流行过程中所占比例越来越大<sup>[4]</sup>。在地理条件以山地为主的贵州,烟草和马铃薯是主要的农作物,且 2 种农作物常相邻而种,为 PVY 发生和广泛传播提供了条件。而贵州全省生态区域多样、不同区域气候条件差异明显,这些因素也使得 PVY 可能发生频繁的变异和重组。2013—2015 年通过广泛采集在各主要烟区的疑似 PVY 症状样品,并对采集到的样品进行检测和序列测定,发现虽然序列变异和重组明显,但是优势株系数量在采集的样品中依然占据多数。尽快确定优势株系的全基因组序列,可以更全面地了解 PVY 在贵州的流行发生规律,是有效制定防控措施的重要前提。本研究通过对优势株系全基因组序列的克隆,以期为构建相应的侵染性克隆奠定物质基础,为长期监测贵州 PVY 优势株系的变化提供数据支持。

## 1 材料与方法

### 1.1 材料

洋酸浆(*Physalis floridana*)(由黑龙江农科院马铃薯脱毒研究所提供);本生烟(*Nicotiana benthamina*)和苋色藜(*Chenopodium amaranticolor*)由中国农业大

学范在丰老师实验室提供;PVY 毒源由本实验室采集自黔南州福泉市烟田。

### 1.2 生化试剂

反转录试剂盒(Promega reverse transcript system No. M7741)和 DNA 聚合酶(Promega pfu taq No. A5001)购自 Promega 公司 DNA marker (Tans2K, 货号: BM101; Tans2K plus, 货号: BM111; 全式金); pBL 平端连接 T 载体(货号: VT206 购自天根生化科技(北京)有限公司)

### 1.3 方法

#### 1.3.1 毒源采集和分离

采集:在烟田选择呈现典型茎脉坏死症状的 PVY 疑似侵染植株,每个植株采集叶片 5~10 g,使用锡箔纸包好后,标记采集时间和采集地点,然后立即保存于液氮中。

单斑分离:取毒源样品 0.1 g,液氮研磨,然后以 1 mL 0.01 mmol/L 的 PBS 缓冲液重悬,摩擦接种枯斑寄主洋酸浆,20 d 后分离单斑,然后以单斑在此接种,经过 3 次单斑分离后,通过接种本生烟保存毒源。

#### 1.3.2 引物设计

收集已报道的 PVY 全长序列信息,利用 DNAMAN (Lynnon Biosoft, Canada) 软件进行全序列比对,选择最为保守的区域设计引物。引物由上海捷瑞生物技术公司合成,引物序列及所在参考序列中的位置见表 1。

#### 1.3.3 总 RNA 的提取

采用 Trizol 试剂进行 RNA 提取,提取的 RNA 用 20 μL RNAase-free 水溶解,测定 RNA 浓度,终浓度为 1 ug/μL。提取的总 RNA 立即用于反转录反应。

表 1 引物列表

Table 1 List of primers

名称 Name of primer	序列 Sequence (5'-3')	扩增片段在 PVY 基因组上的位置 Location of the amplification fragment in PVY genome
5'UTR f	AAATTAAAACAACCAATACAAC	5'UTR~2.1 kb
2.1 r	ATCATAGTTGGCCAGGTTCC	
1.9 f	TTAGGCAGAAGATGAAAGGTG	1.9~4.9 7 kb
4.97 r	GAATGTCATGTATGACTGGATGC	
4.5 f	ACACTGAGAAGGAAATTATTG	4.5~7.76 kb
7.76 r	TCCTCGTCTTATTGCAAGTATC	
7.3 f	GAGCAAGAAATTTCAAAGC	7.3 kb~3'UTR
3'UTR r	GTCTCCTGATTGAAGTTACAG	

### 1.3.4 RT-PCR

取1 $\mu$ L RNA、分别加入1 $\mu$ L oligodT、Random primer和2 $\mu$ L RNAase-free水,于70℃条件下变性5 min,取出冰上孵育5 min;分别依次加入5 $\mu$ L 5×buffer,1 $\mu$ L dNTP mixture(10 nmol/L),1 $\mu$ L RNase inhibitor(40 U/ $\mu$ L),1 $\mu$ L M-MLV反转录酶,最后用RNAase-free水调整体积为20 $\mu$ L。整个反应体系在42℃孵育1 h。

取1 $\mu$ L反转录产物为模板,再依次加入2.5 $\mu$ L 10×PCR buffer,正向和反向引物各1 $\mu$ L、0.5 $\mu$ L dNTP mixture(10 nmol/L)、0.3 $\mu$ L pfu *Taq*,最后用ddH<sub>2</sub>O定容至25 $\mu$ L。然后按照95℃5 min;95℃,30 s,52℃ 30 s,72℃延伸3 min,共30个循环;最后72℃,5 min。

### 1.3.5 PVY疑似样品的检测

提取样品总RNA,反转录,以5'UTR~2.1 kb引物进行PCR扩增,然后通过电泳和测序的方式确定所检测样品是否感染PVY。

### 1.3.6 序列测定和分析

将PCR产物切胶回收,测定浓度后使用冷冻抽

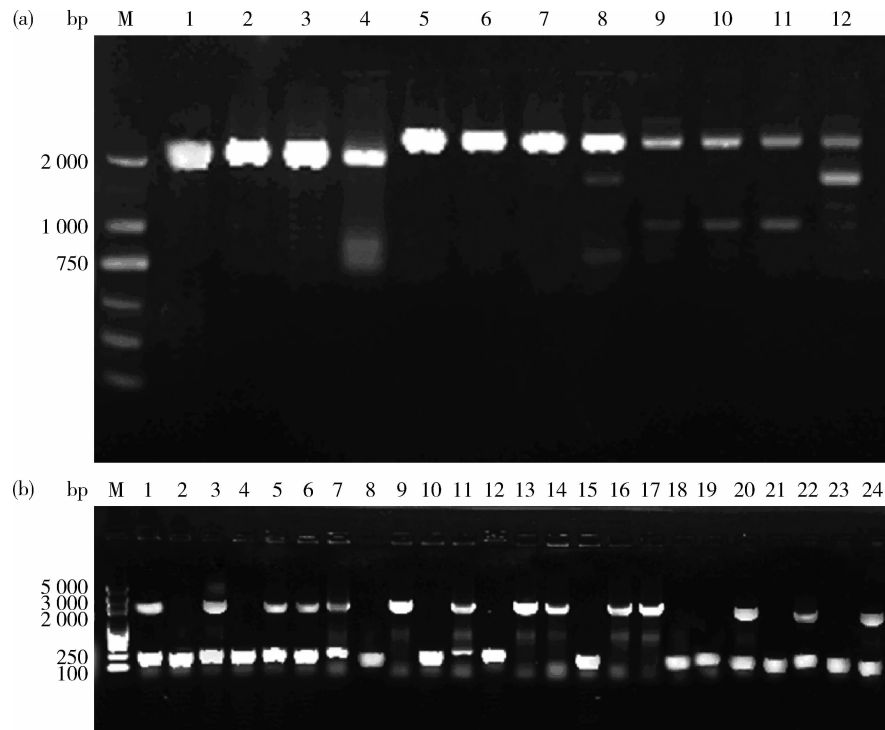
干装置进行浓缩。获得的PCR产物连接T载体上。连接产物转化大肠杆菌DH5 $\alpha$ 感受态细胞,并进行阳性克隆筛选,每个片段的连接转化产物至少送5个阳性转化子用于测序。

测序结果采用DNAMAN软件进行拼接。使用Clustal<sup>[3]</sup>软件与已知PVY全长序列进行比对,最后采用MEGA4软件,以邻位法(Neighbor-joining,NJ)进行系统进化分析,设置自举法检验(Bootstrap trials)不低于500次。

## 2 结果与分析

### 2.1 PVY样品的鉴定

提取采集到的36份烟草样品RNA,RT-PCR扩增对采集的样品进行鉴定,其中26份被确定为PVY阳性(图1(a),图1(b)),对扩增获得的序列进行分析发现有7份样品5'UTR~2.1 kb的基因序列基本完全一致,另外9份样品基因序列同源性达到98%。因此,可以认为这2组样品所代表的PVY分离物在烟田是优势株系。



(a) M为Tans2K marker;1~7,为扩增产物;(b) M为Tans2K plus marker,1~24为扩增产物。预期扩增片段约为2 300 bp。

(a) M, Tans2K DNA marker; Lane 1-7, production of RT-PCR amplification; (b) M, Tans2K plus DNA marker, Lane 1-24, production of RT-PCR amplification. The expected amplification segment in each lane is about 2 300 bp.

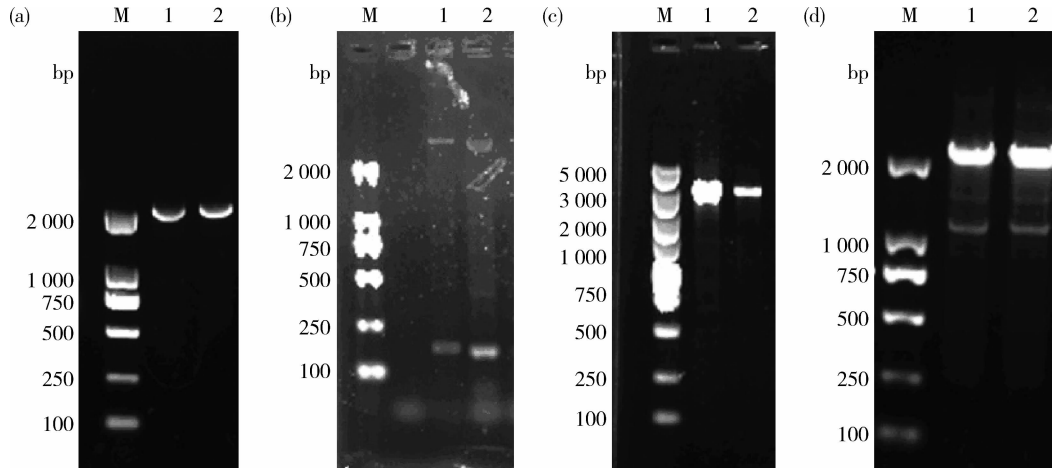
图1 采集的烟草样品中PVY的RT-PCR检测

Fig. 1 Detection of PVY in collected samples by RT-PCR

## 2.2 PVY 全基因组分节段扩增结果

在 2 个优势株系样品中,选择 PVY 福泉分离物(PVY Fuquan isolate, PVY-FQ)和 PVY 大方分离物(PVY Dafang isolate, PVY-DF)作为毒源保存和全基因组扩增的材料。分别提取总 RNA,然后使

用 Oligo dT 和 Random primer 进行反转录,以反转录产物为模板,以表 1 所述的 4 对引物进行 PCR 的扩增。结果显示,2 个分离物的 cDNA 模板均可以通过 PCR 扩增,获得 4 对引物预期大小的扩增产物(图 2(a),(b),(c)和(d))。



(a) 5'UTR~2.1 kb 片段扩增结果;(b) 1.9~4.9 kb 片段扩增结果;(c) 4.5~7.76 kb 片段扩增结果;(d) 7.3 kb~3'UTR 片段扩增结果;(a)、(b)、(d) 中 M 为 Maker Trans 2K; (c) M 为 Trans 2K Plus。

(a) Amplification segments which matched to 5'UTR—2.1 K of PVY genome;(b) Amplification segments which matched to 1.9~4.9 kb of PVY genome;(c) Amplification segments which matched to 4.5~7.76 kb of PVY genome;(d) Amplification segments which matched to 7.3 kb-3'UTR of PVY. In(a), (b) and(d): M, Tans2K DNA marker; 1, PVY-FQ; 2, PVY-DF. In(c): M, Tans2K plus DNA marker; 1, PVY-FQ; 2, PVY-DF.

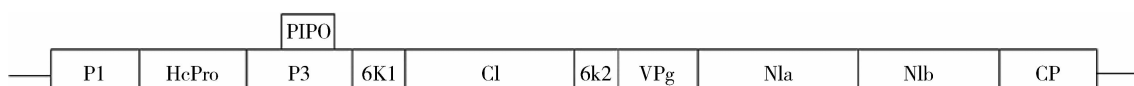
图 2 PVY-FQ 和 PVY-DF 基因组分节段扩增结果

Fig. 2 Amplification of PVY-FQ and PVY-DF genome segments by RT-PCR

## 2.3 序列的拼接和进化分析

PVY FQ 和 PVY DF 各节段 PCR 产物回收后,连接载体测序。测序结果进行拼接,结果表明, PVY FQ (NCBI 登录号: KU724101) 全基因组共 9 699 个碱基,编码多聚蛋白的阅读框起始于

188 nt, 终止于 9 373 nt; PVY DF (NCBI 登录号: KX009783) 全基因组共 9 706 个碱基, 编码多聚蛋白的阅读框起始于 190 nt, 终止于 9 375 nt。2 个分离物多聚蛋白的编码结构与 PVY 已报道的特征一致(图 3)。



P1: 188~1 012 nt/190~1 014 nt; Hc-Pro: 1 013~2 407 nt/1 015~2 409 nt; P3: 2 408~3 502 nt/2 410~3 504 nt; PIPO: 2 917~3 147 nt/2 919~3 149 nt; 6K1: 3 503~3 658 nt/3 505~3 660 nt; Cl: 3 659~5 560 nt/3 661~5 562 nt; 6K2: 5 561~5 716 nt/5 563~5 718 nt; VPg: 5 717~6 280 nt/5 719~6 282 nt; NIa: 6 281~7 012 nt/6 283~7 014 nt; NIb: 7 013~8 569 nt/7 015~8 571 nt; CP: 8 570~9 373 nt/8 572~9 375 nt

图 3 PVY-FQ/PVY-DF 基因组结构示意图

Fig. 3 Genome organization of PVY-DF and PVY-FQ

由于重组和变异频发,不同 PVY 分离物之间遗传差异较大。通过将拼接好的 PVY-FQ 和 PVY-DF 序列与几个 PVY 代表性株系的基因组数据进行同源比对和遗传距离分析,这 2 个同样采集与贵州的优势分离物还是存在较明显的差异(表 2 和表 3)。

为了进一步确定这 2 个分离物的亲缘关系, 将 PVY-FQ 和 PVY-DF 序列与部分已公布的 PVY 全基因序列进行系统进化分析。结果显示, 其中 PVY-FQ 与已报道的 PVY<sup>NTN</sup> 株系更近, 而 PVY-DF 则与典型的 PVY<sup>N</sup> 株系关系更近(图 4)。另外,

进化分析的结果还显示,虽然在烟田,N株系和O株系症状差异明显,而NTN株系和N株系表现的

症状非常相似,但是重组株系NTN和典型的N株系在进化上的差异更为明显。

表2 PVY-FQ与PVY主要株系同源性和遗传距离分析

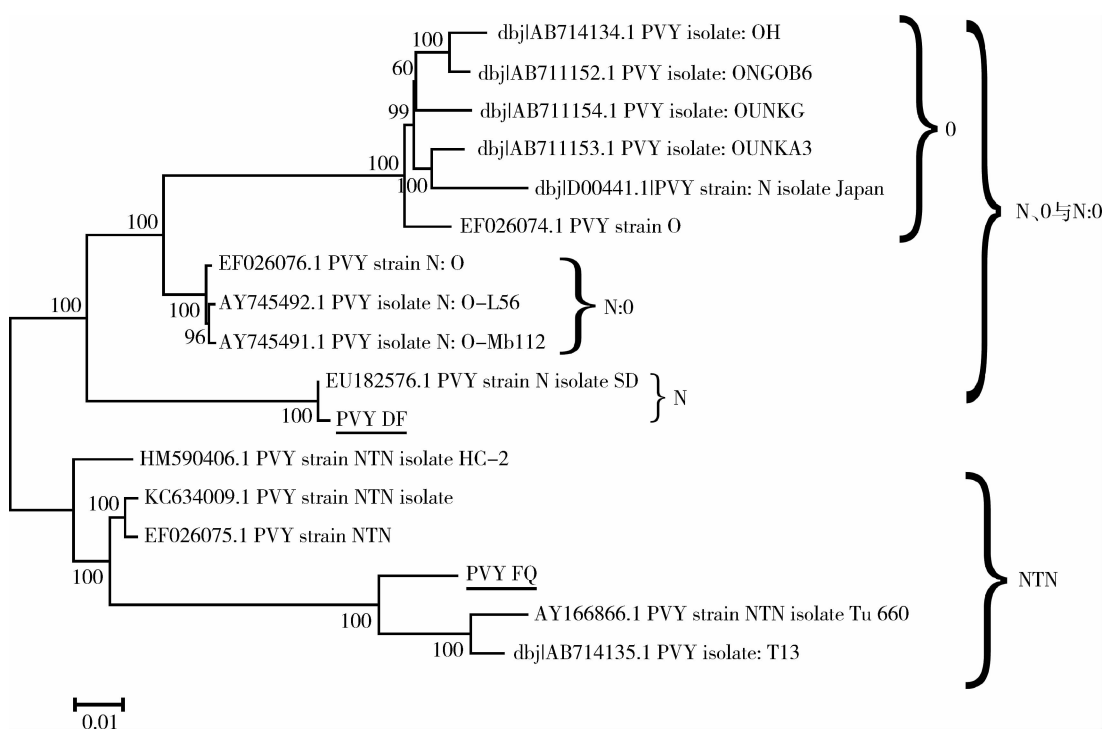
Table 2 The homology and genetic distance among PVY-FQ and main PVY strain published previously

病毒株系 Strain	病毒株系 Strain				
	PVY-FQ	PVY <sup>N</sup>	PVY <sup>O</sup>	PVY <sup>N:O</sup>	PVY <sup>NTN</sup>
PVY-FQ		0.08	0.14	0.08	0.03
PVY <sup>N</sup>	87%				
PVY <sup>O</sup>	83%	91%			
PVY <sup>N:O</sup>	88%	92%	95%		
PVY <sup>NTN</sup>	92%	95%	88%	90%	

表3 PVY-DF与PVY主要株系同源性和遗传距离分析

Table 3 The homology and genetic distance among PVY-DF and main PVY strain published previously

病毒株系 Strain	病毒株系 Strain				
	PVY-DF	PVY <sup>N</sup>	PVY <sup>O</sup>	PVY <sup>N:O</sup>	PVY <sup>NTN</sup>
PVY-DF		0.02	0.08	0.04	0.11
PVY <sup>N</sup>	96%				
PVY <sup>O</sup>	88%	91%			
PVY <sup>N:O</sup>	93%	92%	95%		
PVY <sup>NTN</sup>	86%	95%	88%	90%	



标尺表示的是遗传距离

The scale bar represents genetic distance

图4 PVY FQ 和 PVY DF 全基因组序列系统进化树

Fig. 4 Phylogenetic trees of PVY FQ and PVY DF complete sequences

### 3 讨 论

本研究通过大量采集贵州烟田的疑似 PVY 样品,筛选优势分离物,并对优势分离物的全基因组序列进行克隆和测序。研究结果表明以 PVY-FQ 和 PVY-DF 为代表的优势分离物序列全长为 9 699 nt 和 9 706 nt, 系统进化分析显示, PVY-FQ 与 PVY<sup>NTN</sup> 株系具有密切的亲缘关系, 而 PVY-DF 与 PVY<sup>N</sup> 亲缘关系较近。

以往对 PVY 等 *Potyvirus* 的变异和重组研究中, 编码 CP 蛋白和 P1-HC 的基因序列经常作为研究目标<sup>[5-8]</sup>。然而, *Potyvirus* 的变异和重组往往是全基因组水平发生的, 且在基因组不同位置上变异程度不同。目前研究显示 P1、HC-pro、VPg 和 CP 基因等区段是重组发生热点, 因此, 仅局限于某个区段会使对变异和重组的研究过于片面。目前, 对马铃薯上 PVY 主要株系的研究显示, PVY N:O 发生普遍<sup>[9]</sup>。然而在烟草实际生产中, 形成茎脉坏死的 PVY 株系对生产造成的威胁最大, 由于茎脉坏死症状是 PVY<sup>N</sup> 的典型症状, 因此长期以来 PVY<sup>N</sup> 是贵州烟草病害的研究人员关注的唯一对象。然而我们的研究结果显示, 与 PVY<sup>N</sup>一样, PVY<sup>NTN</sup> 的存在同样普遍。这与马铃薯的 PVY 株系研究结果略有差异, 贵州独特的山地地形和气候条件以及茄科作物混种的栽培模式使得 PVY 基因组形成重组是大概率事件, 因此 PVY<sup>NTN</sup> 这种典型的重组株系普遍存在是符合逻辑的<sup>[10]</sup>。同时, 这也预示着, 会出现更多甚至是新的重组株系。因此, 以 PVY 分离物全基因组数据为基础进行 PVY 变异和重组分析是必要的。

程序和算法是生物信息学分析的核心。目前在分子系统发育研究中, 常见的建树方法有邻位法 (Neighbor-Joining)、最大简约法 (Maximum Parsimony)、贝叶斯法 (Bayesian inference, BI) 和最大似然法 (Maximum Likelihood)<sup>[11]</sup>。上述方法各有特点, 其中以最大似然法和邻位法最为常用。最大似然法普遍被认为是与进化事实吻合最好的建树方法<sup>[12]</sup>, 但是当序列差异略大时计算强度高的缺陷显得十分突出; 大多数情况下邻位法在计算强度和建树效果上较为平衡, 因此被广泛应用, 特别是在病毒分离物的进化研究中。

### 参考文献 References

[1] Shukla D D, Ward C W, Brunt A A. *The Potyviridae* [M]. Wallingford;

- Centre for Agriculture and Biosciences International, 1994
- [2] King A M, Lefkowitz E, Adams M J, Carstens E B. *Virus Taxonomy* [C]. In: Ninth Report of the International Committee on Taxonomy of Viruses. Amsterdam: Elsevier Academic Press, 2011
- [3] Smith K M. On the composite nature of certain potato virus disease of the mosaic group as revealed by the use of plant indicators and selective methods of transmission [J]. *Proceeding of Royal Society of London. Series B*, 1981, 109: 251-226
- [4] Quenouille J, Vassilakos N, Moury B. Potato virus Y: A major crop pathogen that has provided major insights into the evolution of viral pathogenicity [J]. *Molecular Plant Pathology*, 2013, 14(5): 439-452
- [5] Larkin M A, Blackshields G, Brown, N P, Chenna R, McGettigan P A, McWilliam H, Valentin F, Wallace I M, Wilm A, Lopez R, Thompson J D, Gibson T J, Higgins D G. Clustal W and Clustal X version 2.0[J]. *Bioinfomatics*, 2007, 23(21): 2947-2948
- [6] 王秀芳, 朱常香, 温孚江, 竺晓平, 郭兴启. 一个马铃薯 Y 病毒山东分离物的分离与鉴定[J]. 植物病理学报, 2003, 33(3): 203-208  
Wang X F, Zhu C X, Wen F J, Zhu X P, Guo X Q. Isolation and identification of a potato virus Y isolate in Shandong[J]. *Acta Phytopathologica Sinica*, 2003, 33(3): 203-208 (in Chinese)
- [7] 吴志明, 时星, 谢晓亮, 温春秀, 张庆良. 河北省马铃薯 Y 病毒株系分子鉴定及其 RT-PCR 检测[J]. 河北农业大学学报, 2005, 28(3): 54-59  
Wu Z M, Shi X, Xie X L, Wen C X, Zhang Q L. Molecular identification of Hebei potato virus Y isolate and its detection by RT-PCR [J]. *Journal of Hebei Agricultural University* 2005, 28(3): 54-59 (in Chinese)
- [8] 高芳銮, 沈建国, 史凤阳, 方治国, 谢联辉, 詹家媛. 中国马铃薯 Y 病毒的检测鉴定及 CP 基因的分子变异[J]. 中国农业科学, 2013, 46(15): 3125-3133  
Gao F L, Shen J G, Shi F Y, Fang Z G, Xie L H, Zhan J S. Detection and molecular variation of potato virus Y CP gene in China[J]. *Scientia Agricultura Sinica*, 2013, 46 (15): 3125-3133 (in Chinese)
- [9] 陈士华, 刘晓磊, 张晓婷, 吴兴泉. 中国部分马铃薯产区马铃薯 Y 病毒的株系分化和鉴定[J]. 河南农业大学学报, 2011, 45 (5): 548-551  
Chen S H, Liu X L, Zhang X T, Wu X Q. Study on the PVY strain differentiation and identification of some potato producing areas in China[J]. *Journal of Henan Agricultural University*, 2011, 45(5): 548-551 (in Chinese)
- [10] Glaes L, Tribodet M, Kerlan C. Genomic variability in potato Virus Y (PVY): evidence that PVY<sup>NW</sup> and PVY<sup>NTN</sup> variants are single or multiple recombinants between PVY<sup>O</sup> and PVY<sup>N</sup> [J]. *Archive of Virology* 2002, 147(2): 363-378 (in Chinese)
- [11] 吴祖建, 高芳銮, 沈建国. 生物信息学分析实践[M]. 北京: 科学出版社, 2010: 158-159  
Wu Z J, Gao F L, Shen J G. *The Practice of Bioinformatics Analysis* [M]. Beijing: Science Press, 2010: 158-159 (in Chinese)
- [12] 黄原. 分子系统发生学[M]. 北京: 科学出版社, 2012  
Huang Y. *Molecular Phylogenetics* [M]. Beijing: Science Press, 2012 (in Chinese)

责任编辑: 吕晓梅